

УДК 533.6

## ТУРБУЛЕНТНЫЕ ЧИСЛА ШМИДТА И ПРАНДТЛЯ В ПОГРАНИЧНОМ СЛОЕ НА СТЕНКЕ С ЗАВЕСНЫМ ОХЛАЖДЕНИЕМ ПРИ ВДУВЕ ИНОРОДНОГО ГАЗА ЧЕРЕЗ ПОРИСТУЮ ВСТАВКУ

© 2023 г. В. Г. Лущик<sup>a,\*</sup>, М. С. Макарова<sup>a,\*\*</sup>, С. С. Попович<sup>a,\*\*\*</sup>

<sup>a</sup>МГУ им. М.В. Ломоносова, Научно-исследовательский институт механики, Москва, Россия

\*E-mail: vgl\_41@mail.ru

\*\*E-mail: april27\_86@mail.ru

\*\*\*E-mail: pss@imec.msu.ru

Поступила в редакцию 24.05.2023 г.

После доработки 04.07.2023 г.

Принята к публикации 01.08.2023 г.

С использованием трехпараметрической RANS-модели турбулентности, дополненной уравнениями переноса для турбулентных потоков тепла и массы, проведено численное исследование изменения турбулентных чисел Шмидта и Прандтля в пограничном слое на стенке с зависящим охлаждением при вдуве гелия в поток ксенона через пористую вставку. Проведено сравнение полученных результатов с расчетными данными для постоянных значений турбулентных чисел Шмидта и Прандтля.

**Ключевые слова:** RANS-модель турбулентности, уравнения переноса для турбулентных потоков тепла и массы, вдув газа, турбулентное число Прандтля, турбулентное число Шмидта

**DOI:** 10.31857/S1024708423600501, **EDN:** CQYHLE

Экспериментальные данные по турбулентному числу Прандтля  $\text{Pr}$ , проанализированы в обзоре [1] для развитого течения в круглой трубе, плоском канале и для двумерного пограничного слоя с постоянными физическими свойствами. В [1] показано, что в общем случае турбулентное число Прандтля является функцией молекулярного числа Прандтля  $\text{Pr}$ , числа Рейнольдса  $\text{Re}$  и расстояния от стенки  $y^+$ .

Для газовых смесей водорода, гелия, аргона, ксенона с молекулярным числом Прандтля  $0.18 < \text{Pr} < 0.7$  при числах Рейнольдса  $3 \times 10^4 < \text{Re} < 1 \times 10^5$  в [2] рассмотрен ряд моделей для установления зависимости  $\text{Pr}_t(y^+, \text{Pr}, \text{Re})$ . Анализ результатов расчетных исследований величины  $\text{Pr}_t$  показывает, что они носят противоречивый характер, особенно в пристеночной области при  $y^+ < 10$ . Путем прямого численного моделирования (DNS), проведенного для турбулентного течения в канале и трубе с непроницаемыми стенками в работах [3–5], установлено, что величина турбулентного числа Прандтля при низких числах Рейнольдса для  $\text{Pr} \geq 0.2$  практически не зависит от значения молекулярного числа Прандтля. В [6] также путем DNS проведено численное моделирование турбулентного пограничного слоя на плоской пластине с транспирационным охлаждением.

Большой разброс значений  $\text{Pr}_t$  в экспериментах, приведенных в [7], по-видимому, объясняется невысокой точностью измерения входящих в выражение для турбулентного числа Прандтля (см. ниже) величин  $\langle u' v' \rangle$  и  $\langle v' T' \rangle$  и большой погрешностью при дифференцировании измеренных профилей скорости  $\partial u / \partial y$  и температуры  $\partial T / \partial y$  в широком диапазоне расстояний от стенки до оси трубы.

В [8] был проведен анализ более 20 измеренных профилей температуры в пристенных турбулентных течениях различных жидкостей (при  $0.02 \leq \text{Pr} \leq 100$ ) при условии, что профили температуры имели достаточно широкий участок, хорошо описываемый логарифмической форму-

лой. Определенные в [8] по логарифмическому участку значения  $Pr_t$ , практически не зависят от  $Pr$  и группируются около среднего значения  $Pr_t = 0.85$ .

В [9, 10] с использованием дифференциальной RANS-модели турбулентности [11], дополненной уравнением переноса для турбулентного потока тепла [12], проведено численное исследование зависимости турбулентного числа Прандтля от молекулярного числа Прандтля, интенсивности вдува (отсоса) газа через проницаемую стенку и параметра ускорения (торможения) набегающего потока. В качестве газовых теплоносителей рассмотрены воздух и смеси гелия с ксеноном и с аргоном, а в качестве жидкостных – ртуть, вода и трансформаторное масло. Полученные результаты расчетов согласуются с имеющимися экспериментальными данными для турбулентного числа Прандтля и величинами, входящими в его определение.

В ряде работ (см., например, [13–15]) выполнены расчеты в предположении постоянства турбулентных чисел Прандтля и Шмидта. Так, в [14] для сверхзвуковой пристеночной струи в спутном сверхзвуковом потоке удовлетворительное согласие расчета с экспериментом [16] получено для значений турбулентных чисел Прандтля  $Pr_t = 0.85$  и Шмидта  $Sc_t = 0.7$ .

Следует отметить, что экспериментальные данные для турбулентного числа Шмидта, ввиду трудностей измерения корреляций  $\langle v' C' \rangle$ , практически отсутствуют. Расчетных исследований величины  $Sc_t$  немного (см., например, обзор в [17]). В [17] также путем прямого численного моделирования (DNS), проведенного для турбулентного пограничного слоя на стенке с щелевым завесным охлаждением, получено распределение турбулентных чисел Прандтля и Шмидта в области завесы. Показано, что турбулентные числа Прандтля и Шмидта примерно равны в области смешения щелевой завесы с набегающим сверхзвуковым потоком, оба не являются постоянными и уменьшаются от значений  $\sim 1.2$  на входе до  $\sim 0.8$  дальше по течению. Поведение  $Pr_t$  и  $Sc_t$  сопоставимо в основной части области смешения, а значительные градиенты чисел  $Pr_t$  и  $Sc_t$  имеют место вблизи стенки и внешней границы набегающего потока. Численное исследование [13] установило, что для точного прогнозирования характеристик завесного охлаждения предположение о постоянных турбулентных числах Прандтля или Шмидта является недостаточным.

В работе [18] оценены адекватность и точность предположения о постоянном числе Шмидта при прогнозировании турбулентных скалярных полей в поперечных потоках струй. Круглая струя, впрыскиваемая в замкнутый поперечный поток в прямоугольном канале, была смоделирована с использованием усредненных по Рейнольдсу уравнений Навье–Стокса со стандартной  $k-\epsilon$  моделью турбулентности. Установлено, что для наилучшего согласования расчетов с экспериментальными данными рекомендуется использовать значение турбулентного числа Шмидта  $Sc_t = 0.2$ .

Как отмечено в [19], применение RANS-модели к турбулентным течениям с переносом массы обычно предполагает использование гипотезы градиентной диффузии, которая требует определения турбулентного числа Шмидта  $Sc_t$ . Однако универсальное значение  $Sc_t$  не установлено, и в различных исследованиях использовались эмпирические значения. В [19] рассматриваются исследования, связанные с применением оптимальных значений  $Sc_t$ , имеющих отношение к атмосферному массообмену. Оптимальные значения  $Sc_t$  широко распространены в диапазоне 0.2–1.3, и конкретное выбранное значение оказывает существенное влияние на результаты прогнозирования. На основании результатов проведенного в [19] исследования, поскольку оптимальные значения  $Sc_t$  в значительной степени зависят от местных характеристик потока, рекомендуется определять  $Sc_t$  с учетом доминирующей структуры потока в каждом случае.

Таким образом, из рассмотрения упомянутых выше публикаций следует, что при проведении расчетов с использованием предположения о постоянстве турбулентных чисел Прандтля и Шмидта выбор их значений зависит от конкретной задачи, для которой проводится расчет.

Целью настоящей работы является демонстрация эволюции турбулентных чисел Прандтля и Шмидта в пограничном слое на стенке на примере переменных по длине граничных условий – с завесным охлаждением через пористую вставку при вдуве гелия в поток ксенона и сравнение полученных результатов с расчетными данными для постоянных значений турбулентных чисел Шмидта и Прандтля.

Отметим, что выбор задачи численного исследования обусловлен актуальностью тематики использования газовых смесей с низким значением молекулярного числа Прандтля при завесном охлаждении в эффективных теплообменных устройствах наземного и космического базирования.

## 1. ОПРЕДЕЛЕНИЕ ТУРБУЛЕНТНЫХ ЧИСЕЛ ПРАНДТЛЯ И ШМИДТА

Уравнения неразрывности, движения, энергии и бинарной диффузии, описывающие дозвуковое безградиентное течение в пограничном слое на плоской пластине имеют вид [20]

$$\frac{\partial}{\partial x}(\rho u) + \frac{\partial}{\partial y}(\rho v) = 0 \quad (1.1)$$

$$\rho u \frac{\partial u}{\partial x} + \rho v \frac{\partial u}{\partial y} = \frac{\partial}{\partial y} \left[ \eta \frac{\partial u}{\partial y} + \rho \tau \right] \quad (1.2)$$

$$c_p \left( \rho u \frac{\partial T}{\partial x} + \rho v \frac{\partial T}{\partial y} \right) = \frac{\partial}{\partial y} \left( \frac{\eta}{Pr} \frac{\partial T}{\partial y} + \rho q_t \right) \quad (1.3)$$

$$\rho u \frac{\partial c}{\partial x} + \rho v \frac{\partial c}{\partial y} = \frac{\partial}{\partial y} \left( \frac{\eta}{Sc} \frac{\partial c}{\partial y} + \rho j_t \right) \quad (1.4)$$

Здесь  $x$  – направление вдоль пластины,  $y$  – координата, отсчитываемая по нормали к пластине,  $u$  и  $v$  – компоненты скорости вдоль осей  $x$  и  $y$ , соответственно,  $T$  – термодинамическая температура газа,  $c$  – относительная массовая концентрация газа завесы (концентрация газа основного потока равна  $1-c$ ),  $\rho \tau = -\rho \langle u' v' \rangle$  – турбулентное трение,  $\rho q_t = -\rho c_p \langle v' T' \rangle$  – турбулентный поток тепла,  $\rho j_t = -\rho \langle v' c' \rangle$  – турбулентный поток массы,  $Pr = \eta c_p / \lambda$ ,  $Sc = \eta / \rho D$  – молекулярные числа Прандтля и Шмидта, соответственно,  $\rho$  – плотность,  $\eta$  – динамическая вязкость,  $c_p$  – изобарная теплоемкость,  $\lambda$  – теплопроводность,  $D$  – коэффициент бинарной диффузии газа.

Для величин  $\rho \tau$ ,  $\rho q_t$  и  $\rho j_t$  обычно используются гипотезы вида

$$\rho \tau = -\rho \langle u' v' \rangle = \rho \varepsilon_t \frac{\partial u}{\partial y} \quad (1.5)$$

$$\rho q_t = c_p \frac{\rho \varepsilon_t}{Pr} \frac{\partial T}{\partial y} \quad (1.6)$$

$$\rho j_t = \frac{\rho \varepsilon_t}{Sc} \frac{\partial c}{\partial y} \quad (1.7)$$

Здесь  $\varepsilon_t$  – коэффициент турбулентного переноса количества движения (турбулентная вязкость),  $Pr$  и  $Sc$  – турбулентные числа Прандтля и Шмидта, соответственно, которые обычно принимаются равными и постоянными по толщине пограничного слоя.

Для определения величины турбулентной вязкости  $\varepsilon_t$  в инженерной практике широко используется гипотеза пути смешения Прандтля  $\varepsilon_t = l^2 |\partial u / \partial y|$ . Для пути смешения  $l$  в литературе (см., например в [21]) предложено большое количество эмпирических функций расстояния до стенки, подобранных для каждого конкретного эксперимента, расчет которого требуется провести.

В случае использования уравнений переноса для турбулентных потоков импульса  $\rho \tau = -\rho \langle u' v' \rangle$ , тепла  $\rho q_t = -\rho c_p \langle v' T' \rangle$  и массы  $\rho j_t = -\rho \langle v' c' \rangle$  турбулентные числа Прандтля и Шмидта могут быть рассчитаны по соотношениям вида

$$Pr_t = c_p \frac{\rho \tau \partial T / \partial y}{\rho q_t \partial u / \partial y} \quad (1.8)$$

$$Sc_t = \frac{\rho \tau \partial c / \partial y}{\rho j_t \partial u / \partial y} \quad (1.9)$$

## 2. МОДЕЛЬ ТУРБУЛЕНТНОСТИ. УРАВНЕНИЯ ПЕРЕНОСА ДЛЯ ТУРБУЛЕНТНЫХ ПОТОКОВ ТЕПЛА И МАССЫ

Для вычисления величины напряжения сдвига  $\tau$ , входящей в определение турбулентных чисел Прандтля (1.8) и Шмидта (1.9), использована трехпараметрическая RANS-модель турбулентности [11], обобщенная на течение с теплообменом, в которой уравнения переноса записывают-

ся для энергии турбулентности  $E = 0.5 \sum \langle u_i^2 \rangle$ , величины напряжения сдвига  $\tau = -\langle u' v' \rangle$  и предложенного А.Н. Колмогоровым параметра — квадраты частоты турбулентности  $\omega = E/L^2$  ( $L = \sqrt{E/\omega}$  — поперечный интегральный масштаб турбулентности)

$$\rho u \frac{\partial E}{\partial x} + \rho v \frac{\partial E}{\partial y} = -(c_0 \rho \sqrt{E} L + c_1 \eta) \frac{E}{L^2} + \rho \tau \frac{\partial u}{\partial y} + \frac{\partial}{\partial y} \left( D_E \frac{\partial E}{\partial y} \right) \quad (2.1)$$

$$\rho u \frac{\partial \tau}{\partial x} + \rho v \frac{\partial \tau}{\partial y} = -(3c_0 \rho \sqrt{E} L + 9c_1 \eta) \frac{\tau}{L^2} + c_2 \rho E \frac{\partial u}{\partial y} + \frac{\partial}{\partial y} \left( D_\tau \frac{\partial \tau}{\partial y} \right) \quad (2.2)$$

$$\rho u \frac{\partial \omega}{\partial x} + \rho v \frac{\partial \omega}{\partial y} = -(2c_0 \rho \sqrt{E} L + 1.4c_1 \eta f_\omega) \frac{\omega}{L^2} + \frac{\partial}{\partial y} \left( D_\omega \frac{\partial \omega}{\partial y} \right) + \left[ \frac{\tau}{E} - 2c_3 \operatorname{sign} \left( \frac{\partial u}{\partial y} \right) \right] \rho \omega \frac{\partial u}{\partial y} \quad (2.3)$$

Для вычисления величины  $q_t$ , входящей в определение турбулентного числа Прандтля (1.8), в [12] получено уравнение переноса для величины  $q_t = -c_p \langle v' T' \rangle$

$$\rho u \frac{\partial q_t}{\partial x} + \rho v \frac{\partial q_t}{\partial y} = - \left[ 3c_0 \rho \sqrt{E} L + 9c_1 \eta f(\text{Pr}) \right] \frac{q_t}{L^2} + c_4 c_p \rho E \frac{\partial T}{\partial y} + \frac{\partial}{\partial y} \left( D_q \frac{\partial q_t}{\partial y} \right) \quad (2.4)$$

Полагая, согласно [22, 23], концентрацию, как и температуру, пассивной примесью, что весьма точно выполняется в случае массопереноса, для величины  $j_t = -\langle v' c' \rangle$ , входящей в определение турбулентного числа Шмидта (1.9), уравнение переноса может быть получено аналогично уравнению переноса для величины  $q_t = -c_p \langle v' T' \rangle$  [12] и будет иметь вид

$$\rho u \frac{\partial j_t}{\partial x} + \rho v \frac{\partial j_t}{\partial y} = - \left[ 3c_0 \rho \sqrt{E} L + 9c_1 \eta f(\text{Sc}) \right] \frac{j_t}{L^2} + c_4 c_p \rho E \frac{\partial c}{\partial y} + \frac{\partial}{\partial y} \left( D_j \frac{\partial j_t}{\partial y} \right) \quad (2.5)$$

Значения констант в уравнениях (2.1)–(2.5) [9–12]

$$\begin{aligned} c_0 &= 0.3; & c_1 &= 5\pi/4; & c_2 &= 0.2; & c_3 &= 0.04; & c_4 &= 0.222; & c_5 &= 0.25; & a_E &= a_\omega = 0.06 \\ a_\tau &= a_q = a_j = 3a_E = 0.18; & \alpha_E &= \alpha_\tau = 1; & \alpha_\omega &= 1.4; & \alpha_q &= f(\text{Pr}); & \alpha_j &= f(\text{Sc}) \\ D_\phi &= a_\phi \rho \sqrt{E} L + \alpha_\phi \eta & (\phi &= E, \tau, \omega, q, j) \end{aligned} \quad (2.6)$$

$$f_\omega = 1 - \frac{1}{2c_1} \left( \frac{L}{E} \frac{\partial E}{\partial y} \right)^2, \quad f(\text{Pr}) = \frac{1 + c_5 \sqrt{\text{Pr}} + 1/\sqrt{\text{Pr}}}{2 + c_5 \sqrt{\text{Pr}}}, \quad f(\text{Sc}) = \frac{1 + c_5 \sqrt{\text{Sc}} + 1/\sqrt{\text{Sc}}}{2 + c_5 \sqrt{\text{Sc}}}$$

### 3. ПОСТАНОВКА ЗАДАЧИ РАСЧЕТА. ГРАНИЧНЫЕ УСЛОВИЯ

Расчет пограничного слоя на стенке с зависящим охлаждением через пористую вставку при вдуве инородного газа выполнен с использованием уравнений (1.1)–(1.4) и (2.1)–(2.5) с константами (2.6) и граничными условиями на непроницаемой теплоизолированной стенке (3.1) и стенке со вдувом (3.2) [13]

$$y = 0: u = 0, \quad E = \frac{\partial E}{\partial y} = \tau = q_t = j_t = 0$$

$$v_w = 0, \quad c_w = 0, \quad q_w = \left( c_p \frac{\eta}{\text{Pr}} \frac{\partial T}{\partial y} \right)_w = 0 \quad (3.1)$$

$$j_w = (\rho v)_w, \quad j_w (c_w - 1) = \left( \frac{\eta}{\text{Sc}} \frac{\partial c}{\partial y} \right)_w, \quad j_w^o = j_w / (\rho u)_e \quad (3.2)$$

Здесь  $j_w = (\rho v)_w$  — массовая скорость вдуваемого газа,  $T_w$  — температура стенки,  $T_j$  — температура вдуваемого газа,  $c_w$  — концентрация вдуваемого газа на стенке,  $q_w$  — тепловой поток в стенку. Граничное условие  $\partial E / \partial y = 0$  позволяет определить величину  $\omega_w(x)$ , которая заранее неизвестна.

Границные условия на внешней границе расчетной области ( $y = h$ ), которая превосходит переменную по длине толщину пограничного слоя  $\delta(x)$ , где  $u = 0.99 u_e$ , имеют вид

$$u = u_e, \quad T = T_e, \quad c = 0, \quad E = E_e(x), \quad \omega = \omega_e, \quad \tau = q_t = j_t = 0 \quad (3.3)$$

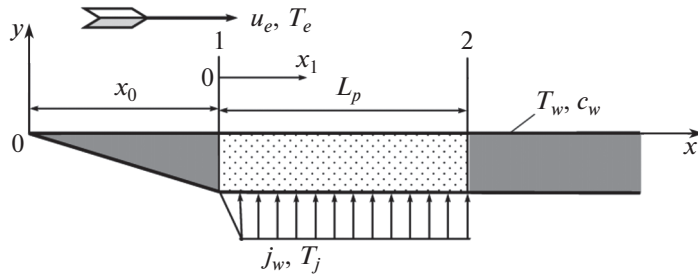


Рис. 1. Расчетная схема.

В (3.3)  $u_e$ ,  $T_e$  – величины скорости, температуры для течения в набегающем потоке, а функции  $E_e(x)$  и  $\omega_e$  описывают вырождение турбулентности в этом течении. Индексы “*w*” и “*e*” в граничных условиях и далее относятся, соответственно, к условиям на стенке и в набегающем потоке.

В начальном ( $x = 0$ ) сечении профиль скорости  $u(y)$  определялся из автомодельного решения Блазиуса, профиль температуры  $T(y)$  принимался подобным профилю скорости, профили функций  $E(y)$ ,  $\tau(y)$ ,  $\omega(y)$ , задавались как в [13].

Начальный масштаб турбулентности  $L_0$  принимался таким ( $Re_L = L_0(\rho u / \eta)_l = 0.2 \times 10^5$ ), чтобы интенсивность турбулентности набегающего потока  $e = \sqrt{E}/u_e$ , уменьшающаяся вследствие вырождения ее на расчетной длине, не более, чем в два раза отличалась от начальной величины  $e_0 = \sqrt{E_0}/u_l = 0.03$ .

Теплофизические свойства и числа  $Pg$  и  $Sc$  задавались в табличном виде в зависимости от давления, температуры и концентрации. Для смеси газов теплофизические свойства рассчитывались по полуэмпирическим формулам для многокомпонентной смеси газов, приведенным в [24], а плотность – по уравнению состояния идеального газа.

#### 4. РЕЗУЛЬТАТЫ РАСЧЕТОВ

Расчеты проводились в следующей постановке (см. рис. 1). Пластина обтекалась набегающим потоком газа с постоянной скоростью  $u_e = 20$  м/с при давлении  $p_e = 2$  МПа. Параметрами задачи являются числа Рейнольдса по длине (рис. 1), отсчитываемые от входа  $Re_x = x(\rho u / \eta)_e$ , либо от начала участка со вдувом  $Re_{x1} = x_1(\rho u / \eta)_e$  при значениях теплофизических параметров, определенных по температуре и давлению в набегающем потоке.

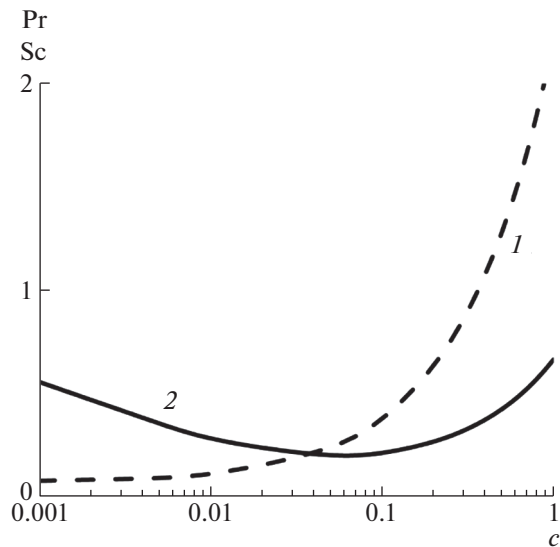
Участок пластины длиной  $x_0 = 100$  мм полагался непроницаемым и теплоизолированным. Далее по потоку между сечениями 1 и 2 на длине  $L_p = 50$  мм осуществлялся вдув, интенсивность которого  $j_w^o = j_w / (\rho u)_e$  линейно нарастала на небольшой длине и далее оставалась постоянной по длине проницаемой пластины и равной величине  $j_w^o = 0.001$ . Область газовой завесы находилась за сечением 2 ( $Re_x > 1.5 \times 10^6$ ), где пластина полагалась непроницаемой и теплоизолированной.

Длина входного участка  $x_0$  (рис. 1) была выбрана так, что начало вдува находилось за областью перехода в пограничном слое от ламинарного режима течения к турбулентному ( $Re_x > 10^6$ ).

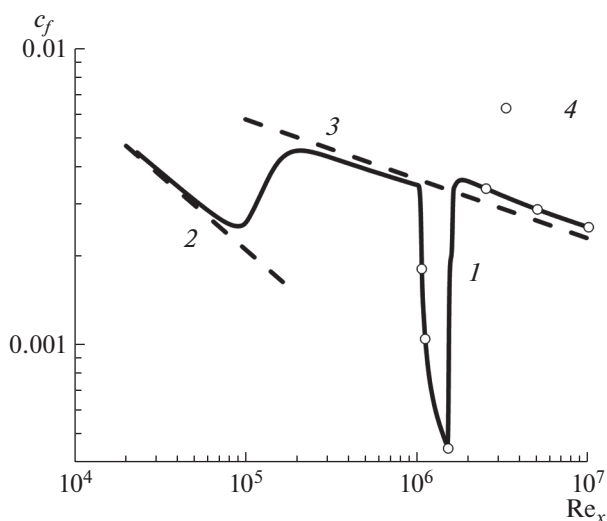
В качестве газа набегающего потока рассматривались ксенон (Xe) при температуре  $T_e = 1000$  К, а вдуваемого газа – гелий (He) при температуре  $T_j = 300$  К. Молекулярные числа Шмидта  $Sc$  и Прандтля  $Pg$  для смеси гелий-ксенон в зависимости от массовой концентрации гелия с приведены на рис. 2.

Характер изменения режима течения по длине пластины иллюстрирует рис. 3, где представлена расчетная зависимость коэффициента трения  $c_f$  от числа Рейнольдса  $Re_x$ .

Как видно из рис. 3, расчетная зависимость (линия 1) при  $Re_x < 10^5$  близка к закону Блазиуса [25]  $c_f = 0.664 \cdot Re_x^{-1/2}$  (линия 2) для ламинарного режима течения, а при  $Re_x > 2 \times 10^5$  (за исключением области вдува  $10^6 < Re_x < 1.5 \times 10^6$ ), где коэффициент трения существенно снижается, близка к зависимости [26]  $c_f = 0.0567 \cdot Re_x^{-1/5}$  (линия 3) для турбулентного режима течения. Точ-



**Рис. 2.** Молекулярные числа Шмидта  $\text{Sc}$  (1) и Прандтля  $\text{Pr}$  (2) в зависимости от массовой концентрации гелия  $c$  в смеси гелий-ксенон.



**Рис. 3.** Изменение коэффициента трения  $c_f$  по длине пластины  $\text{Re}_x$ ; 1 – результаты расчета; 2 – ламинарный режим течения; 3 – турбулентный режим течения; 4 – сечения, для которых приведены данные на рис. 4–7.

ками 4 на рис. 3 отмечены сечения, в которых на рис. 4–7 приведены профили скорости, концентрации, температуры и характеристик турбулентности.

Система уравнений (1.1)–(1.4) и (2.1)–(2.5) с граничными условиями (3.1)–(3.3) позволяет определить поля скоростей  $u$ , температур  $T$ , концентраций вдуваемого газа  $c$  и характеристик турбулентности:  $\tau$ ,  $q$ ,  $j$ , и с использованием соотношений (1.8), (1.9) найти распределение турбулентных чисел Шмидта и Прандтля по толщине пограничного слоя  $y/\delta$ .

На рис. 4 приведены профили относительных величин скорости  $u/u_e$  (а), массовой концентрации  $c$  (б) вдуваемого газа (гелия) в смеси с газом основного потока (ксенона) и температуры  $T/T_e$  (в) в ряде сечений по длине пластины  $x$ .

Как видно из рис. 4, профиль относительной скорости  $u/u_e$  (рис. 4а) слабо изменяется по длине пластины от менее заполненного в области вдува ( $x = 100$ – $150$  мм) до более заполненного в области завесы ( $x > 150$  мм).

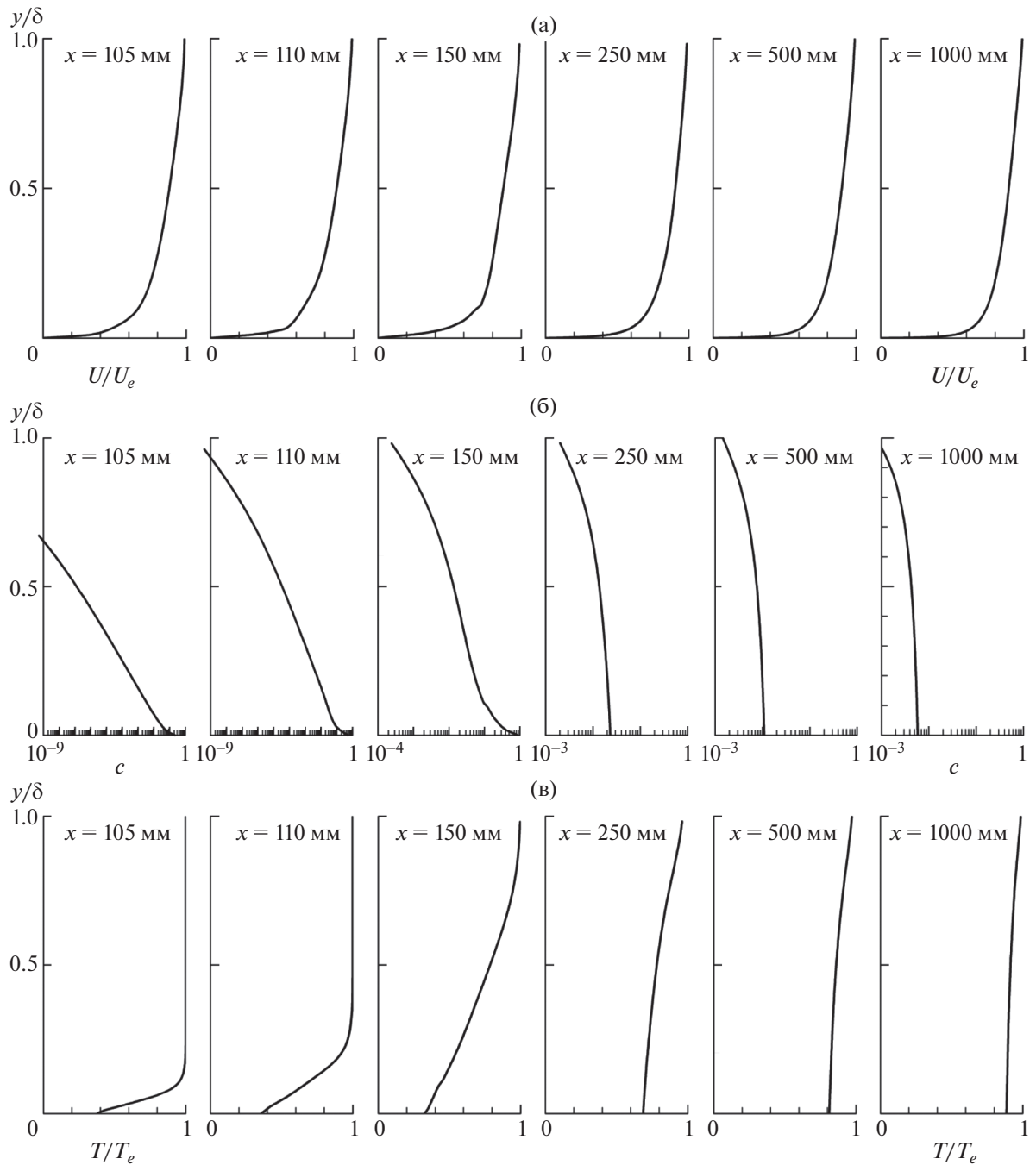


Рис. 4. Профили скорости (а), массовой концентрации (б) вдуваемого газа (гелия) в смеси с газом основного потока (ксенона) и температуры (в) в ряде сечений по длине пластины  $x$ .

Массовая концентрация вдуваемого газа (гелия)  $c$  (рис. 4б) в области вдува возрастает до величины  $c = 0.85$ , при которой относительный коэффициент трения  $c_f/c_{f0} \approx 0.14$  (см. рис. 3), что близко к величине критического вдува. В области завесы ( $x > 150 \text{ мм}$ ) величина  $c$  существенно уменьшается. Профили относительной температуры  $T/T_e$  (рис. 4в) в области вдува также существенно изменяются по толщине пограничного слоя  $y/\delta$  и слабо изменяются в области завесы.

На рис. 5 представлено распределение в пограничном слое безразмерных величин и турбулентного трения  $\tau^o = -\langle u' v' \rangle / u_e^2$  (а), турбулентного потока массы  $j_t^o = -\langle v' c' \rangle / u_e (c_w - c_e)$  (б) и турбулентного потока тепла  $q_t^o = -\langle v' T' \rangle / u_e (T_e - T_w)$  (в).

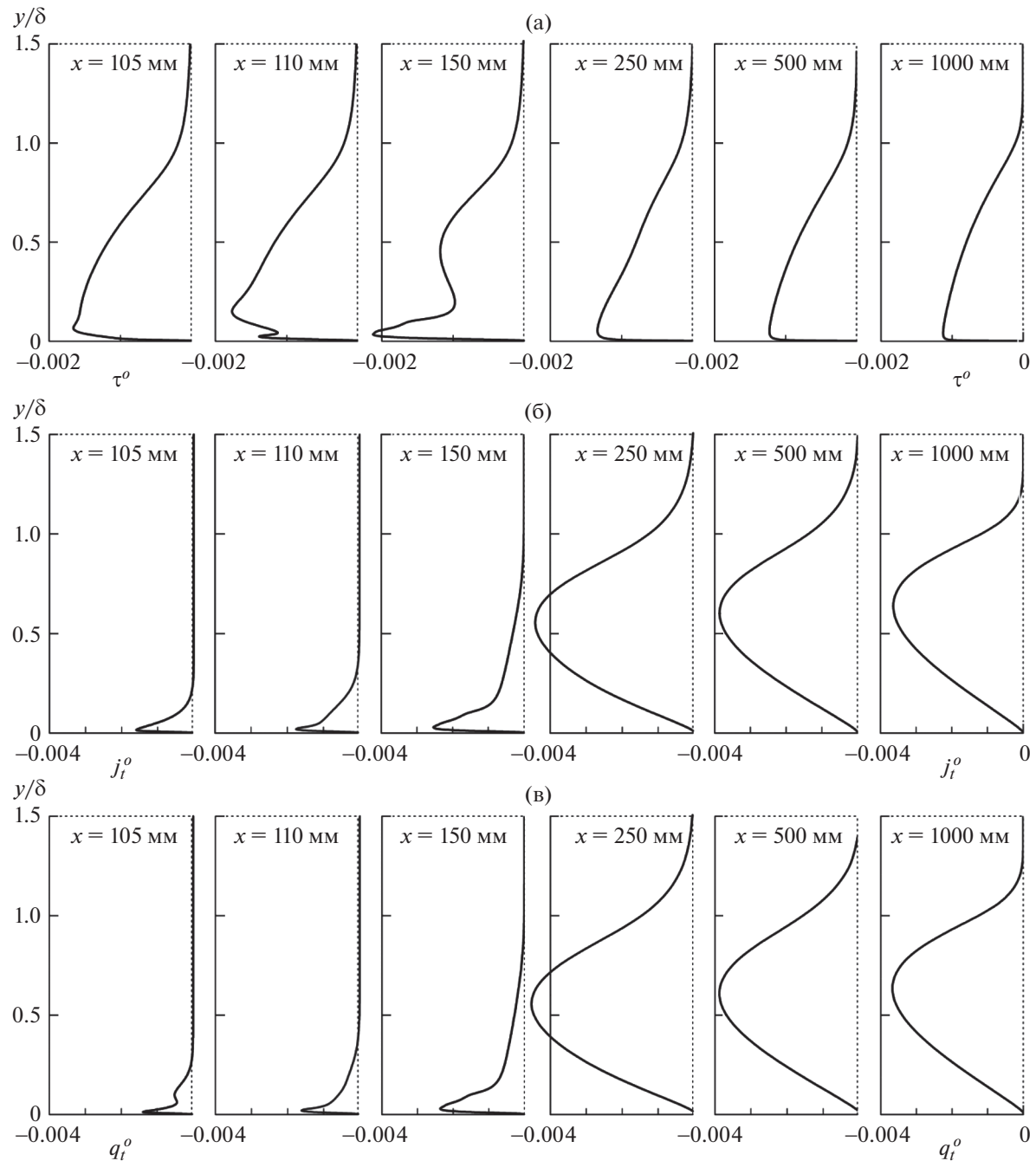


Рис. 5. Профили турбулентных характеристик  $\tau^o$  (а),  $j_t^o$  (б),  $q_t^o$  (в) в ряде сечений по длине пластины  $x$ .

Как видно из рис. 5, характер зависимостей турбулентных потоков массы  $j_t^o$  (б) и тепла  $q_t^o$  (в) в пограничном слое существенно меняется при переходе из области вдува ( $x = 100\text{--}150 \text{ мм}$ ) в область завесы ( $x > 150 \text{ мм}$ ) при менее существенном изменении турбулентного трения  $\tau^o$  (а).

Профили молекулярных чисел Шмидта Sc и Прандтля Pr в смеси гелия с ксеноном для значений массовой концентрации гелия (рис. 4в) в ряде сечений по длине пластины  $x$  приведены на рис. 6. Как видно, профили молекулярных чисел Шмидта и Прандтля, как и профили массовой концентрации гелия (рис. 4в), существенно меняются при переходе из области вдува ( $x = 100\text{--}150 \text{ мм}$ ) в область завесы ( $x > 150 \text{ мм}$ ).

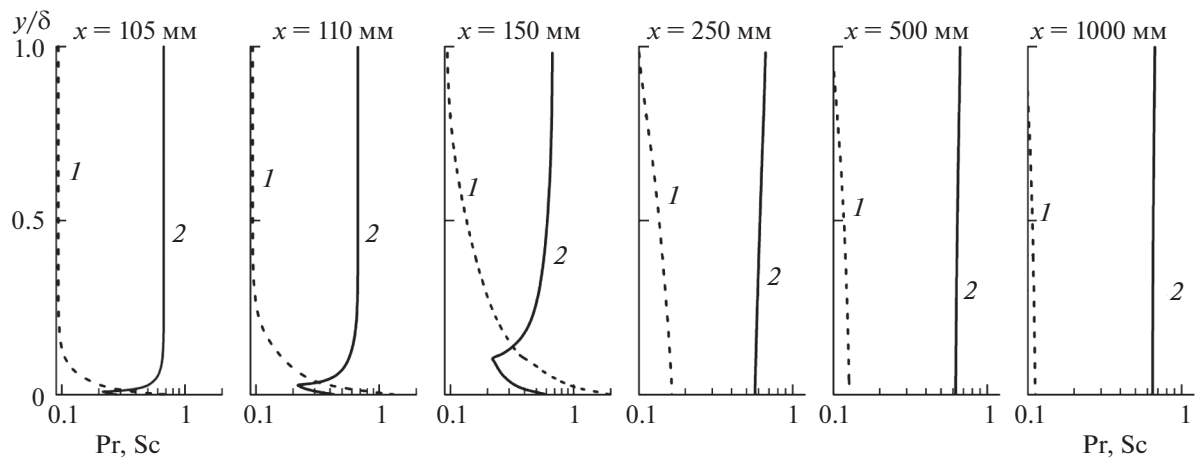


Рис. 6. Профили молекулярных чисел Шмидта  $\text{Sc}$  (1) и Прандтля  $\text{Pr}$  (2) в смеси гелия с ксеноном в ряде сечений по длине пластины  $x$ .

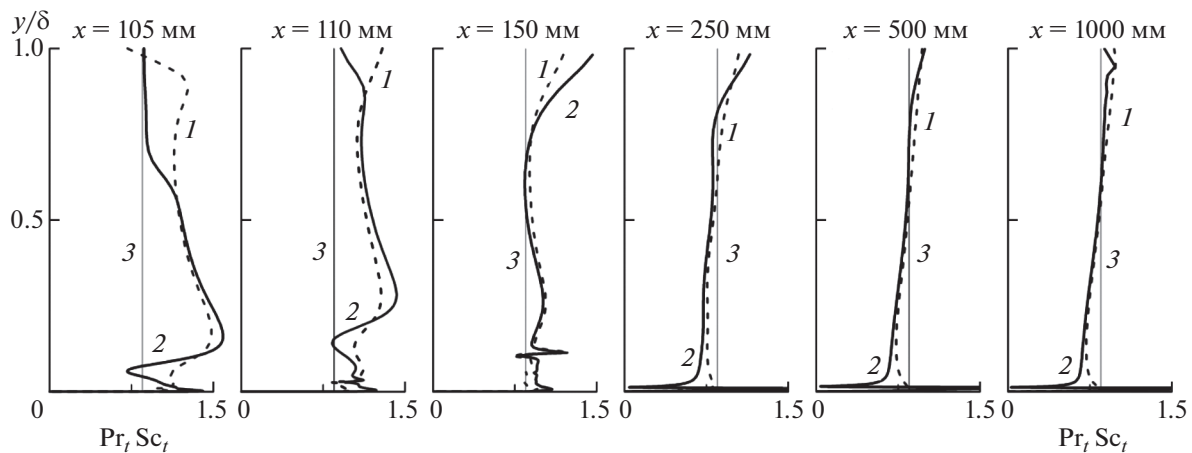


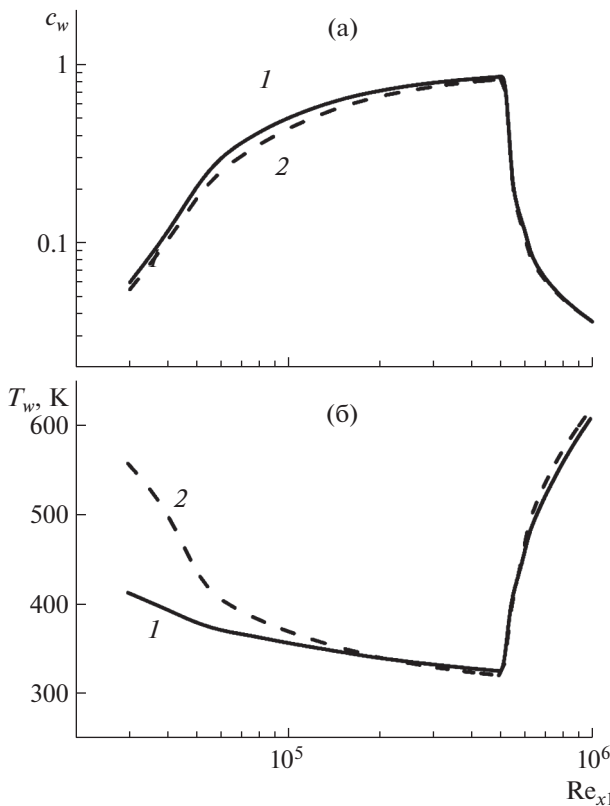
Рис. 7. Профили турбулентных чисел Шмидта  $\text{Sc}_t$  (1) и Прандтля  $\text{Pr}_t$  (2) в ряде сечений по длине пластины  $x$ : 3 –  $\text{Sc}_t = \text{Pr}_t = 0.85$ .

На рис. 7 представлено изменение по толщине пограничного слоя  $y/\delta$  турбулентных чисел Шмидта  $\text{Sc}_t$  и Прандтля  $\text{Pr}_t$ , определенных по соотношениям (1.8), (1.9), с использованием расчетных профилей скорости, массовой концентрации вдуваемого газа и температуры (рис. 4), а также характеристик турбулентности  $\tau, j_t$  и  $q_t$  (рис. 5).

Как видно из рис. 7, зависимости  $\text{Sc}_t(y/\delta)$  и  $\text{Pr}_t(y/\delta)$  в области вдува ( $x = 100–150$  мм) далеки от постоянных значений  $\text{Sc}_t = \text{Pr}_t = 0.85$  (штриховые линии) и лишь в области завесы ( $x > 150$  мм) при  $y/\delta > 0.1$  близки к упомянутому постоянному значению. В пристеночной области зависимости  $\text{Sc}_t(y/\delta)$  и  $\text{Pr}_t(y/\delta)$  в особенности сильно меняются.

На рис. 8 приведены изменения от числа Рейнольдса,  $\text{Re}_{x_1} = x_1(\rho u/\eta)_e$ , определенного по длине  $x_1$  от начала вдува (см. рис. 1) массовой концентрации гелия  $c_w$  (а) и температуры стенки  $T_w$  (б) для двух вариантов расчета: 1 – с использованием модели турбулентности (2.1)–(2.3) с уравнениями переноса для турбулентных потоков тепла (2.4) и массы (2.5) и 2 – без уравнений (2.4), (2.5) и с соотношениями для турбулентных потоков тепла (1.6) и массы (1.7) для постоянных турбулентных чисел Шмидта и Прандтля  $\text{Sc}_t = \text{Pr}_t = 0.85$ .

Как видно из рис. 8, в области вдува ( $\text{Re}_{x_1} < 5 \times 10^5$ ) переменность турбулентного числа Шмидта слабо сказывается на изменении по длине массовой концентрации гелия на стенке  $C_{\text{Hew}}$  (рис. 8а), в то время как переменность турбулентного числа Прандтля заметно сказывается на изменении



**Рис. 8.** Сравнение расчетного изменения по длине  $Re_{x1}$  (а) массовой концентрации гелия  $c_w$  на стенке и (б) температуры стенки  $T_w$ : 1 – использование уравнений переноса для турбулентных потоков массы и тепла; 2 – расчет для постоянных турбулентных чисел Шмидта и Прандтля  $Sc_t = Pr_t = 0.85$ .

по длине температуры стенки  $T_w$  (рис. 8б). В области завесы ( $Re_{x1} > 10^5$ ), где турбулентные числа Шмидта и Прандтля близки к постоянным (см. рис. 7), значения величин  $c_w$  и  $T_w$  для двух вариантов расчета практически совпадают.

В результате проведенного численного исследования установлено, что величина турбулентного числа Шмидта более консервативна по сравнению с величиной турбулентного числа Прандтля, изменение которого, как показано в [9, 10] для пограничного слоя со вдувом, заметно влияет на тепловые характеристики пограничного слоя.

### ЗАКЛЮЧЕНИЕ

С использованием трехпараметрической RANS-модели турбулентности, дополненной уравнениями переноса для турбулентных потоков тепла и массы, проведено численное исследование пограничного слоя на стенке с завесным охлаждением через пористую вставку при вдуве гелия в поток ксенона.

Получены расчетные значения полей скорости, температуры, массовой концентрации вдуваемого газа, турбулентного трения и турбулентных потоков тепла и массы, с использованием которых рассчитано распределение турбулентных чисел Шмидта и Прандтля по толщине пограничного слоя в сравнении с постоянными значениями турбулентных чисел Шмидта и Прандтля.

Показано, что профиль скорости слабо изменяется по длине пластины от менее заполненного в области вдува до более заполненного в области завесы. Массовая концентрация вдуваемого газа (гелия) в области вдува возрастает до величины, при которой относительный коэффициент трения близок к величине, соответствующей критическому вдуву. Профили температуры в области вдува также существенно изменяются по толщине пограничного слоя и слабо изменяются в области завесы. Характер зависимостей турбулентных потоков массы и тепла в пограничном

слое существенно меняется при переходе из области вдува в область завесы при менее существенном изменении турбулентного трения.

Показано, что зависимости турбулентных чисел Прандтля и Шмидта по толщине пограничного слоя  $y/\delta$  в области вдува далеки от постоянных значений  $Sc_t = Pr_t = 0.85$  и лишь в области завесы при  $y/\delta > 0.1$  близки к упомянутому постоянному значению. В пристеночной области зависимости  $Sc_t(y/\delta)$  и  $Pr_t(y/\delta)$  (в особенности) очень сильно меняются, что связано с немонотонным изменением в области вдува характеристик турбулентности и молекулярных чисел Прандтля и Шмидта.

Проведено исследование влияния переменности турбулентных чисел Прандтля и Шмидта на характеристики тепло- и массообмена, в частности, на температуру стенки и массовую концентрацию вдуваемого газа (гелия) на стенке по длине пластины. Показано, что в области вдува переменность турбулентного числа Шмидта слабо сказывается на изменении по длине массовой концентрации гелия на стенке, в то время как переменность турбулентного числа Прандтля заметно сказывается на изменении по длине температуры стенки. В области завесы турбулентные числа Шмидта и Прандтля близки к постоянной величине  $\sim 0.85$ .

Таким образом, предположение о постоянстве турбулентных чисел Шмидта и Прандтля (в особенности) во всей области течения нельзя считать оправданным, если требуется высокая точность определения характеристик тепло- и массообмена.

Работа выполнена при финансовой поддержке Российского научного фонда (грант № 19-19-00234).

#### СПИСОК ЛИТЕРАТУРЫ

1. Kays W.M. Turbulent Prandtl number – where are we? // Trans. ASME. J. Heat Transf. 1994. V. 116. P. 284–295.
2. McEligot D.M., Taylor M.F. The turbulent Prandtl number in the near-wall region for low-Prandtl-number gas mixture // Int. J. Heat Mass Transf. 1996. V. 39. P. 1287–1295.
3. Redjem-Saad L., Ould-Rouiss M., Lauriat G. Direct numerical simulation of turbulent heat transfer in pipe flows: Effect of Prandtl number // Int. J. Heat Fluid Flow. 2007. V. 28. № 5. P. 847–861.
4. Kawamura H., Ohsaka K., Abe H., Yamamoto K. DNS of turbulent heat transfer in channel flow with low to medium-high Prandtl number fluid // Int. J. Heat Fluid Flow. 1998. V. 19. № 5. P. 482–491.
5. Kawamura H., Abe H., Matsuo Y. DNS of turbulent heat transfer in channel flow with respect to Reynolds and Prandtl number effects // Int. J. Heat Fluid Flow. 1999. V. 20. № 3. P. 196–207.
6. Christopher N., Peter J.M.F., Kloker M.J., Hickey J.P. DNS of turbulent flat-plate flow with transpiration cooling // Int. J. Heat Mass Transf. 2020. V. 157. 119972.
7. Moffat R.J., Kays W.M. A Review of Turbulent-Boundary-Layer Heat Transfer Research at Stanford, 1958–1983 // Adv. Heat Transf. 1984. V. 16. P. 241–365.
8. Kader B.A., Yaglom A.M. Heat and mass transfer laws for fully turbulent wall flows // Int. J. Heat Mass Transf. 1972. V. 15. P. 2329–2351.
9. Лущик В.Г., Макарова М.С. Турбулентное число Прандтля в пограничном слое на пластине: влияние молекулярного числа Прандтля, вдува (отсоса) и продольного градиента давления // Теплофизика и аэромеханика. 2018. Т. 25. № 2. С. 177–190.
10. Leontiev A.I., Lushchik V.G., Makarova M.S. Study of effect of molecular prandtl number, transpiration, and longitudinal pressure gradient on flow and heat transfer characteristics in boundary layers // Comput. Therm. Sci. 2019. V. 11. P. 41–49.
11. Лущик В.Г., Павельев А.А., Якубенко А.Е. Трехпараметрическая модель сдвиговой турбулентности // Изв. АН СССР. МЖГ. 1978. № 3. С. 13–25.
12. Лущик В.Г., Павельев А.А., Якубенко А.Е. Уравнение переноса для турбулентного потока тепла. Расчет теплообмена в трубе // Изв. АН СССР. МЖГ. 1988. № 6. С. 42–50.
13. Леонтьев А.И., Лущик В.Г., Якубенко А.Е. Особенности теплообмена в области газовой завесы при вдуве инородного газа // Изв. РАН. МЖГ. 2010. № 4. С. 52–59.
14. Лущик В.Г., Якубенко А.Е. Пристенная щелевая завеса на пластине в сверхзвуковом потоке. Сравнение расчета с экспериментом // Изв. РАН. МЖГ. 2001. № 6. С. 83–91.
15. Лущик В.Г., Макарова М.С. Особенности теплообмена на проницаемой поверхности в сверхзвуковом потоке при вдуве инородного газа // Изв. РАН. МЖГ. 2020. № 5. С. 61–64.
16. Абрамович Г.Н., Кузьмич В.Б., Секундов А.Н., Смирнова И.П. Экспериментальное и расчетное исследование сверхзвуковой пристеночной струи в спутном сверхзвуковом потоке // Изв. АН СССР. МЖГ. 1972. № 4. С. 25–32.

17. Peter J.M.F., Kloker M.J. Direct numerical simulation of supersonic turbulent flow with film cooling by wall-parallel blowing // *Phys. Fluids*. 2022. V. 34. 025125.
18. He G., Guo Ya., Hsu A.T. The effect of Schmidt number on turbulent scalar mixing in a jet-in-crossflow // *Int. J. Heat Mass Transf.* 1999. V. 42. P. 3727–3738.
19. Tominaga Yo, Stathopoulos T. Turbulent Schmidt numbers for CFD analysis with various types of flow field // *Atmos. Environ.* 2007. V. 41. P. 8091–8099.
20. Иевлев В.М. Турбулентное движение высокотемпературных сплошных сред. М.: Наука, 1975. 256 с.
21. Kays W.M. Convective Heat and Mass Transfer. McGraw-Hill Education; 4th edition, 2004. 512 с.
22. Кадер Б.А., Яглом А.М. Законы подобия для пристенных турбулентных течений // Итоги науки и техники. Сер. Механика жидкости и газа. М.: ВИНТИ. 1980. Т. 15. С. 81–155.
23. Шервуд Т., Пигфорд Р., Уилки Ч. Массопередача. М.: Химия, 1982. 696 с.
24. Рид Р., Праусниц Дж., Шервуд Т. Свойства газов и жидкостей. Л.: Химия, 1982. 593 с.
25. Шлихтинг Г. Теория пограничного слоя. М: Наука, 1974. 711 с.
26. Кутателадзе С.С., Леонтьев А.И. Тепломассообмен и трение в турбулентном пограничном слое. М.: Энергоатомиздат, 1985. 319 с.